

# 光波场被抛物型反射面镜的转换

鄂国铨  
(应用物理系)

**【摘要】** 讨论了抛物型反射面镜内的光波场的转换, 指出了获得严格付氏变换的条件, 也讨论了反射面镜内成像特征及聚焦误差的影响。

**【关键词】** 抛物型反射面镜, 付氏变换, 光波场

**【中图分类号】** O438

透镜的付氏变换性质是众所周知的, 然而 Husian Abidi 和 Krile 指出: 抛物型反射面镜同样有付氏变换性质, 并且作为一个付氏变换元件而言较透镜更有优越性<sup>[1]</sup>. 虽然文献 [1] 没有作理论分析, 只作了初步说明, 但它所报导的精美实验证实了以上的论断。

本文为此作了理论分析, 由输入物光波场复振幅的分布出发, 讨论如何利用抛物面镜来获得其严格的付氏变换, 即得到其相应的频谱分布, 也讨论了反射面镜内的成像特征, 还分析了聚焦误差对成像平面上复振幅分布的影响。

## 1 获得严格付氏变换的条件

图 1 中焦距为  $f$ , 将其光轴取为  $i_x$  轴方向右, 在焦平面  $P_1(x_1, y_1)$  处, 放置透明物体  $S(x_1, y_1)$ , 而单色点光源位于  $Q$  点, 取定观测平面位于  $P_3(x_3, y_3)$ , 其相互间隔如图 1 所示。

由  $Q$  点发出的球面波, 传播到物函数  $S(x_1, y_1)$  所在的  $P_1(x_1, y_1)$  平面, 在旁轴近似下, 略写常数位相因子, 令时谐因子为  $\exp(-j\omega t)$ , 则其复振幅可表达为

$$U_1(x_1, y_1) = \exp\left[jk \frac{(x_1^2 + y_1^2)}{2U}\right] \quad (1)$$

在物函数之后, 则有

$$U_1(x_1, y_1) = S(x_1, y_1) \exp\left[jk \frac{(x_1^2 + y_1^2)}{2U}\right] \quad (2)$$

沿光轴到达抛物面镜  $P_2(x_2, y_2)$ , 按照 Fresnel 衍射考虑, 参阅文献 [2], 可直接写出下式

$$U_2(x_2, y_2) = \exp\left[jk \frac{(x_2^2 + y_2^2)}{2f}\right] \iint_{-\infty}^{\infty} \exp\left[jk \left(\frac{1}{U} + \frac{1}{f}\right) \frac{(x_1^2 + x_1'^2)}{2}\right] S(x_1, y_1) \times$$

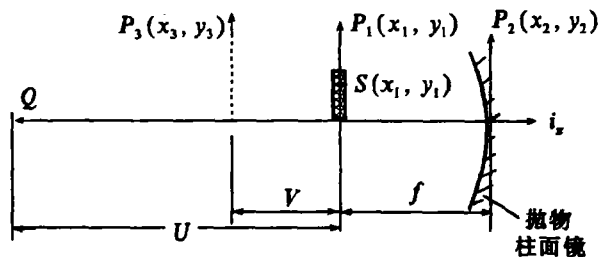


图 1 一般的付氏变换构型

$$\exp[-jk(x_1x_2+y_1y_2)/f]dx_1dy_1 \quad (3)$$

如果不计入镜面孔径大小的影响, 也暂不考虑存在聚焦误差, 那么由于镜面的反射, 只需引入如下位相因子(略写常数位相因子)

$$T(x_2, y_2, f) = \exp[-jk \frac{(x_2^2+y_2^2)}{2f}] \quad (4)$$

于是由镜面反射后的复振幅, 最终可表达为

$$U_2'(x_2, y_2) = T(x_2, y_2, f) U_2(x_2, y_2) = \iint_{-\infty}^{\infty} \exp[jk(\frac{1}{U} + \frac{1}{f}) \frac{(x_1^2+y_1^2)}{2}] \times \\ S(x_1, y_1) \exp[-jk \frac{(x_1x_2+y_1y_2)}{f}] dx_1dy_2 \quad (5)$$

然后,  $U_2'(x_2, y_2)$  继续向左传播, 到达  $P_3(x_3, y_3)$  平面, 其复振幅  $U_3(x_3, y_3)$  仍可按(3)式的推导思路, 导出如下

$$U_3(x_3, y_3) = \exp[\frac{jk(x_3^2+y_3^2)}{2(f+V)}] \iint_{-\infty}^{\infty} S(x_1, y_1) \exp[\frac{jk}{2}(\frac{1}{U} + \frac{1}{f})(x_1^2+y_1^2)] dx_1dy_1 \times \\ \iint_{-\infty}^{\infty} \exp\{-jk[(\frac{x_1}{f} + \frac{x_3}{f+V})x_1 + (\frac{y_1}{f} + \frac{y_3}{f+V})y_1]\} \times \\ \exp[jk \frac{(x_2^2+y_2^2)}{2(f+V)}] dx_2dy_2 \quad (6)$$

虽然, 图1中的观测平面  $P_3(x_3, y_3)$  与物平面  $P_1(x_1, y_1)$  平面, 皆垂直于光轴; 但若使镜面稍有倾斜, 则上述结果依然成立, 不会有明显地偏离。

$$\text{令 } x_3/(f+V) + x_1/f = \lambda p; \quad y_3/(f+V) + y_1/f = \lambda q \quad (7)$$

于是(6)式中的第二个积分为

$$\iint_{-\infty}^{\infty} \exp[\frac{jk(x_2^2+y_2^2)}{2(f+V)}] \exp[-j2\pi(px_2+qy_2)] dx_2dy_2 \\ = F\{\exp[jk(x_2^2+y_2^2)/2(f+V)]\} = \exp[-j\pi\lambda(f+V)(p^2+q^2)] \\ = \exp\{\frac{jk}{2}(f+V)[(\frac{x_1}{f} + \frac{x_3}{f+V} + V)^2 + (\frac{y_1}{f} + \frac{y_3}{f+V} + V)^2]\} \quad (8)$$

将(6)、(8)两式合并后, 整理可得

$$U_3(x_3, y_3) = \iint_{-\infty}^{\infty} \exp\{\frac{jk}{2}[\frac{1}{U} + \frac{1}{f} - \frac{f+V}{f^2}](x_1^2+y_1^2)\} S(x_1, y_1) \times \\ \exp[-\frac{jk}{f}(x_1x_3+y_1y_3)] dx_1dy_1 \quad (9)$$

如果令 
$$\frac{1}{U} + \frac{1}{f} - \frac{f+V}{f^2} = 0$$

亦即令 
$$UV = f^2 \quad (10)$$

则(9)式化为

$$\begin{cases} U_3(x_3, y_3) = \iint_{-\infty}^{\infty} S(x_1, y_1) \exp[-j2\pi(f_x x_1 + f_y y_1)] dx_1 dy_1 \\ f_x = \frac{x_3}{\lambda f}, \quad f_y = \frac{y_3}{\lambda f} \end{cases} \quad (11)$$

则有 
$$U_3(x_3, y_3) = F\left\{S\left(\frac{x_3}{\lambda f}, \frac{y_3}{\lambda f}\right)\right\} \quad (12)$$

以上推导表明:若(10)式成立,则 $U_3(x_3, y_3)$ 是 $S(x_1, y_1)$ 的准确付氏变换.而(10)式是众所周知的物像公式的牛顿形式,它的物理意义是,单色点光源 $Q$ 成像于 $P_3(x_3, y_3)$ 平面与光轴的交点处.换言之,在点光源 $Q$ 自身成像的位置处,会得到物函数 $S(x_1, y_1)$ 的准确付氏变换.这个结论与透镜情况是一致的.

## 2 接收观察面上复振幅的普遍表达式

图2所示 $A$ 为平面物体,其复振幅透过率为 $U_1(x_1, y_1)$ ,被平行于光轴的相干平面波自左向右垂直照明,按Fresnel衍射考虑,类似(3)式的推导,可得

$$U(x, y) = \frac{\exp\left[\frac{jk}{2z_1}(x^2+y^2)\right]}{j\lambda z_1} \iint_{-\infty}^{\infty} U_1(x_1, y_1) \times \exp\left[\frac{jk}{2z_1}(x_1^2+y_1^2)\right] \times \exp\left[\frac{-jk}{z_1}(xx_1+yy_1)\right] dx_1 dy_1 \quad (13)$$

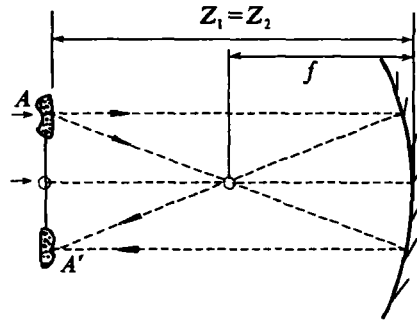


图2 光场的转换

$$U'(x, y) = U(x, y) P(x, y) \exp\left[\frac{-jk}{2f}(x^2+y^2)\right]; P(x, y) = \text{Circ}\left[\frac{\sqrt{x^2+y^2}}{D}\right] \quad (14)$$

其中 $U(x, y)$ 为传播到镜面之复振幅,而 $U'(x, y)$ 为经镜面反射后的复振幅,又 $P(x, y)$ 为此镜面系统中出射光瞳面的光瞳函数, $D$ 为圆形出射光瞳的直径.

将(13)式和(14)式合并后有下列式

$$U'(x, y) = \frac{\exp\left[j\frac{k}{2}\left(\frac{1}{z_1} - \frac{1}{f}\right)(x^2+y^2)\right]}{j\lambda z_1} P(x, y) \iint_{-\infty}^{\infty} U_1(x_1, y_1) \times \exp\left[\frac{jk}{2z_1}(x_1^2+y_1^2)\right] \exp\left[\frac{-jk}{2z_1}(xx_1+yy_1)\right] dx_1 dy_1 \quad (15)$$

继续向左传播至  $z_2$  处的接收观察平面上, 类似 (6) 式的推导, 其复振幅  $U_2(x_2, y_2)$  如下:

$$U_2(x_2, y_2) = \frac{-\exp\left[\frac{jk}{2z_2}(x_2^2+y_2^2)\right]}{\lambda^2 z_1 z_2} \iint_{-\infty}^{\infty} U_1(x_1, y_1) \exp\left[\frac{jk}{2z_1}(x_1^2+y_1^2)\right] dx_1 dy_1 \times$$

$$\iint_{-\infty}^{\infty} P(x, y) \exp\left[j\frac{k}{2}\left(\frac{1}{z_1} + \frac{1}{z_2} - \frac{1}{f}\right)(x^2+y^2)\right] \times$$

$$\exp\left[-j\frac{k}{z_2}(xx_2+yy_2)\right] \exp\left[-j\frac{k}{z_1}(xx_1+yy_1)\right] dx dy \quad (16)$$

仔细分析 (16) 式的第二个积分可知: 它是被修正的光瞳函数  $P'(x, y)$  的付氏变换, 其空间频率可记为  $f'_x$  和  $f'_y$ , 于是分别有下式

$$P'(x, y) = P(x, y) \exp\left[j\frac{k}{2w}(x^2+y^2)\right]; \quad \frac{1}{w} = \frac{1}{z_1} + \frac{1}{z_2} - \frac{1}{f} \quad (17)$$

$$f'_x = \frac{1}{\lambda} \left(\frac{x_1}{z_1} + \frac{x_2}{z_2}\right); \quad f'_y = \frac{1}{\lambda} \left(\frac{y_1}{z_1} + \frac{y_2}{z_2}\right) \quad (18)$$

再将 (14) 式中的  $P(x, y)$  代入 (17) 式, 则 (16) 式中的第二个积分可化为

$$\iint_{-\infty}^{\infty} P(x, y) \exp\left[j\frac{k}{2w}(x^2+y^2)\right] \exp\left[-j2\pi(f'_x x + f'_y y)\right] dx dy$$

$$= \exp\left[-j\frac{k}{2}\lambda^2 w(f_x'^2 + f_y'^2)\right] \otimes \frac{J_1(2\pi\sqrt{f_x'^2 + f_y'^2})}{\sqrt{f_x'^2 + f_y'^2}} \quad (19)$$

其中  $\otimes$  表示卷积运算,  $J_1$  为第一类第一阶 Bessel 函数. 将 (19) 式代入 (16) 式后, (16) 式可化为

$$U_2(x_2, y_2) = \frac{-\exp\left[j\frac{k}{2z_2}(x_2^2+y_2^2)\right]}{\lambda^2 z_1 z_2} \iint_{-\infty}^{\infty} U_1(x_1, y_1) \exp\left[j\frac{k}{2z_1}(x_1^2+y_1^2)\right] \times$$

$$\exp\left[-j\frac{k}{2}\lambda^2 w(f_x'^2 + f_y'^2)\right] \otimes \frac{J_1(2\pi\sqrt{f_x'^2 + f_y'^2})}{\sqrt{f_x'^2 + f_y'^2}} dx_1 dy_1$$

$$= \frac{-\exp\left[j\frac{k}{2z_2}\left(1 - \frac{w}{z_2}\right)(x_2^2+y_2^2)\right]}{\lambda^2 z_1 z_2} \iint_{-\infty}^{\infty} U_1(x_1, y_1) \exp\left[\frac{jk}{2z_1}\left(1 - \frac{w}{z_1}\right)(x_1^2+y_1^2)\right] \otimes$$

$$\frac{J_1(2\pi\sqrt{f_x'^2 + f_y'^2})}{\sqrt{f_x'^2 + f_y'^2}} \exp\left[-j\frac{kw}{z_1 z_2}(x_1 x_2 + y_1 y_2)\right] dx_1 dy_1 \quad (20)$$

上式就是抛物型反射面镜内, 接收观察面上的复振幅的普遍表达式. 其中  $w, f'_x, f'_y$  按 (17)、(18) 式计算.

本节上述的推导具有一般性,下面分析两种经常使用的特殊情况.

(1) 有物像公式的高斯形式如下

$$\frac{1}{z_1} + \frac{1}{z_2} = \frac{1}{f} \quad (21)$$

对于图2的情况而言,可知相干平行光可视为位于无穷远点的单色点光源,即取  $z_1 \rightarrow \infty$ ,若暂时不考虑聚焦误差的影响,那么按照本文第1节的结论,则此点光源自身必将成像于反射面镜的焦点处,即有  $z_2=f$ ;并且在此焦点处,也必然能够获得物函数  $U_1(x_1, y_1)$  的付氏变换.事实正是如此,这可由(20)式推导得出,过程如下:将  $U_1(x_1, y_1)$  恰置于  $z_1=f$  处,则由(17)式知有  $z_2=w=f$ ,亦即有  $z_1=z_2=w=f$ ,将这个结果代入(20)式,则有

$$\begin{cases} U_2(x_2, y_2) = \frac{-1}{\lambda^2 f^2} \iint_{-\infty}^{\infty} U_1(x_1, y_1) \otimes \frac{J_1(2\pi\sqrt{f_x'^2+f_y'^2})}{\sqrt{f_x'^2+f_y'^2}} \times \\ \exp[-j2\pi(f_x x_1+f_y y_1)] dx_1 dy_1 \\ f_x = \frac{x_2}{\lambda f}, f_y = \frac{y_2}{\lambda f}; f_x' = \frac{x_1}{\lambda f} + f_x, f_y' = \frac{y_1}{\lambda f} + f_y \end{cases} \quad (22)$$

注意,在这里正如由(9)式推导到(11)式一样,由(20)式到(22)式,把原在(9)式及(20)式中的位相弯曲项消除了.

显然,(22)式的物理意义是: $U_2(x_2, y_2)$ 是两个函数,即  $U_1(x_1, y_1)$ 的付氏变换与孔径函数(14)式的一般乘积.若不考虑抛物型反射面镜的孔径大小,取(14)式中  $P(x, y) \equiv 1$ ,则不难由(22)式导出  $U_2(x_2, y_2) = F\{U_1(\frac{x_2}{\lambda f}, \frac{y_2}{\lambda f})\}$  只差一常数因子.这样就又回到了(11)式.其实这也是预料之中的,因为物像公式的牛顿形式(10)式与高斯形式(21)式本来在物理上就是等价的.要特别指出:文献[1]所报导的实验,正是属于这种情况.

(2)仍考虑图2情况,仍暂不考虑聚焦误差影响.将(16)式与(21)式联立,并取定  $z_1=2f$  后有  $z_2=2f$ ,于是(16)式化为

$$U_2(x_2, y_2) = \frac{-\exp[j\frac{k}{4f}(x_2^2+y_2^2)]}{4\lambda^2 f^2} \iint_{-\infty}^{\infty} U_1(x_1, y_1) \exp[j\frac{k}{4f}(x_1^2+y_1^2)] dx_1 dy_1 \times \\ \iint_{-\infty}^{\infty} P(x, y) \exp[-j\frac{k}{2f}(x x_2+y y_2)] \exp[-j\frac{k}{2f}(x x_1+y y_1)] dx dy \quad (23)$$

上式中积分号前的位相因子,不影响最终探测到的强度分布.可以弃去.又已知点物产生的响应是一个很小的像斑,那么能够对于像面上  $(x_2, y_2)$  点的光场产生是有意贡献的,只能是以几何光学成像所对应的物点为中心的微小区域<sup>[2]</sup>.并且如果在这个微小区域内,指数项  $\exp[j\frac{k}{4f}(x_1^2+y_1^2)]$  的位相变化不超过几分之一弧度,则可作如下近似:

$$\exp[j\frac{k}{4f}(x_1^2+y_1^2)] \doteq \exp[j\frac{k}{4f}(x_2^2+y_2^2)]$$

于是在(23)式中可将此项移到积分号外并略写, 从而(23)式可化为

$$U_2(x_2, y_2) = \frac{-1}{4\lambda^2 f^2} \iint_{-\infty}^{\infty} U_1(x_1, y_1) \exp\left[\frac{-jk}{2f}(xx_1 + yy_1)\right] dx_1 dy_1 \times \\ \iint_{-\infty}^{\infty} P(x, y) \exp\left[\frac{-jk}{2f}(xx_2 + yy_2)\right] dx dy \quad (24)$$

不难由上式导出

$$U_2(x_2, y_2) = U_1(-x_2, -y_2) \otimes \frac{J_1(2\pi\sqrt{f_x^2 + f_y^2})}{\sqrt{f_x^2 + f_y^2}}; \quad f_x = \frac{x_2}{2\lambda f}, \quad f_y = \frac{y_2}{2\lambda f} \quad (25)$$

上式与无像差透镜的成像公式又是相同的.

### 3 聚焦误差对像面复振幅分布的影响

尽管与透镜相比, 抛物型反射面镜不存在色像差、球像差, 又慧型像差及像散在实验中也并没有明显地观察到<sup>[1]</sup>, 且在电磁波的各种频率范围内反射面镜都适用. 此外由制作上看, 也不要求材料是均匀、各向同性的等条件; 但是, 抛物型反射面镜的聚焦误差总是难于避免的. 然而, 即便是对于透镜而言, 数学上最容易讨论的像差之一是简单的聚焦误差. 但是, 甚至在这种简单情况下, 为了保持数学上的运算方便, 也必须假定孔径是正方形的 (而不是更有实际意义的圆形孔径)<sup>[2]</sup>.

本文特别取定抛物型反射面镜的出射光瞳的孔径是圆形的, 用(14)式表述; 对图2情况而言, 当存在聚焦误差时, 物像公式的高斯形式(21)式改写为下式

$$\frac{1}{z_1} + \frac{1}{z_2 + \Delta} = \frac{1}{f} \quad (26)$$

$$\text{若取定 } z_1 = 2f \text{ 则有 } z_2 + \Delta = 2f \quad (27)$$

亦即成像平面的实际位置与理想高斯像平面之位置, 偏离了  $\Delta$ .

与文献[2]不同, 本文不讨论聚焦误差对传递函数之影响, 而试图由(20)式出发, 在  $\Delta \neq 0$  的条件下, 求像面复振幅分布的解析解.

将(26)、(27)两式合并后有下列式

$$\frac{1}{w} = \frac{\Delta}{z_2(z_2 + \Delta)} \quad (28)$$

利用(28)式的结果, 于是(20)式中的一个位相弯曲因子化为

$$\exp\left[\frac{jk}{2z_2}\left(1 - \frac{w}{z_2}\right)(x_2^2 + y_2^2)\right] = \exp\left[\frac{-jk}{2\Delta}(x_2^2 + y_2^2)\right] \quad (29)$$

利用(27)式有  $z_2 = 2f - \Delta$  再利用(28)式, 于是(20)式中积分号内之位相因子化为

$$\exp\left[\frac{jk}{2z_1}\left(1 - \frac{w}{z_1}\right)(x_1^2 + y_1^2)\right] = \exp\left[\frac{-jk}{2\Delta}\left(1 - \frac{\Delta}{f}\right)(x_1^2 + y_1^2)\right] \quad (30)$$

将(29)、(30)两式代入(20)式后, 整理后可得

$$\left\{ \begin{aligned} U_2(x_2, y_2) &= \frac{-\exp\left\{\frac{-jk}{2\Delta}(x_2^2+y_2^2)\right\}}{\Delta\lambda^2 f^2} \iint_{-\infty}^{\infty} U_1(x_1, y_1) \exp\left\{\frac{-jk}{2\Delta}\left(1-\frac{\Delta}{f}\right)(x_1^2+y_1^2)\right\} \otimes \\ &\quad \frac{J_1(2\pi\sqrt{f_x'^2+f_y'^2})}{\sqrt{f_x'^2+f_y'^2}} \exp[-j2\pi(x_1 u+y_1 v)] dx_1 dy_1 \quad (31) \\ f_x' &= \frac{1}{\lambda}\left(\frac{x_1}{2f} + \frac{x_2}{2f-\Delta}\right), f_y' = \frac{1}{\lambda}\left(\frac{y_1}{2f} + \frac{y_2}{2f-\Delta}\right); u = \frac{x_2}{\lambda\Delta}, v = \frac{y_2}{\lambda\Delta} \end{aligned} \right.$$

上式的物理意义是：在  $z_2=2f-\Delta$  的接收观测平面上，其复振幅分布是两个函数的卷积后的付氏变换，其一为修正的物函数

$$U_1'(x_1, y_1) = U_1(x_1, y_1) \exp\left\{\frac{-jk}{2\Delta}\left(1-\frac{\Delta}{f}\right)(x_1^2+y_1^2)\right\}$$

其二为弥散函数，即反射面镜孔径函数的付氏变换  $\frac{J_1(2\pi\sqrt{f_x'^2+f_y'^2})}{\sqrt{f_x'^2+f_y'^2}}$  在这里要注意的是，进行付氏变换时，其空间频率为  $(u, v)$ ，与聚焦误差  $\Delta$  密切关联。将 (31) 式解出后，并计入应考虑的复常数，最终可整理简化成下式

$$\left\{ \begin{aligned} U_2(x_2, y_2) &= C \text{Circ}(\sqrt{x_2^2+y_2^2}) \exp\left\{\frac{-jk}{2\Delta}(x_2^2+y_2^2)\right\} \times \\ &\quad \exp\left\{\frac{jk}{2}\frac{\lambda^2\Delta}{\left(1-\frac{\Delta}{f}\right)}\left[\left(\frac{x_2}{\lambda\Delta}\right)^2+\left(\frac{y_2}{\lambda\Delta}\right)^2\right]\right\} \otimes F\left\{U_1\left(\frac{x_2}{\lambda\Delta}, \frac{y_2}{\lambda\Delta}\right)\right\} \\ C &= \frac{j}{4\lambda f} \sqrt{\frac{2(2f-\Delta)}{f-\Delta}} \end{aligned} \right. \quad (32)$$

对 (32) 式的变化趋势及物理含义，作简单、直观地描绘是比较困难的。但可以肯定由于聚焦误差的存在，不仅使成像平面位置偏离了理想高斯像平面，而且像面的图案进一步变得模糊了。尚可作如下的分析。取如图 3 所示。此时相应于物点的像斑面积，不再是围绕着理想高斯像面上的几何像点，而是在  $z_2=2f-\Delta$  的成像平面上，围绕与高斯像点对应的一个点，记其区域范围的线度为  $\Delta x$ ，可作如下估算，参阅文献 [3, 4] 有以下近似式

$$\Delta x \doteq \sqrt{(\Delta x)_f^2 + (\Delta x)_\Delta^2} \quad (33)$$

其中  $(\Delta x)_f$  和  $(\Delta x)_\Delta$  分别是由 Fraunhofer 衍射和聚焦误差所造成的横向增宽，近似有下式

$$\begin{aligned} (\Delta x)_f &\doteq \frac{2\lambda z_2}{D} = \frac{4\lambda f}{D} \\ (\Delta x)_\Delta &\doteq \frac{D\Delta}{z_2} = \frac{D\Delta}{2f} \end{aligned} \quad (34)$$

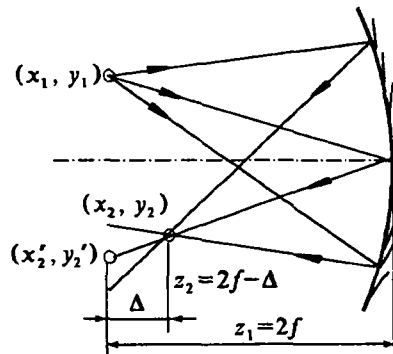


图 3 聚焦误差的影响

## 4 结束语

1 本文第 1, 2 两个部分的分析和推导以及结果, 其意义是显而易见的。

2 第 3 部分的讨论是针对聚焦误差不可忽略时, 给出了一个解析分析与估算方法。其实, 当作为付氏变换元件使用时, 可以合理地预期。由 (33)、(34) 所估算的  $\Delta x$  与作为成像元件使用时相比较会更小, 这只需在做实验时正确调整  $z_1$  和  $z_2$  的位置, 就可基本消除聚焦误差的影响, 此时 (33)、(34) 两式化为  $\Delta x = (\Delta x)_r = (2\lambda f)/D$ 。如此也就解释了为什么文献 [1] 的实验结果是那么的精美。

3 对图 2 而言, 三维物体  $A$  成像为三维像  $A'$ , 若在  $z_2 = 2f - \Delta$  处放置一块干板, 在此干板的右方偏下, 用相干平行光倾斜照射此干板, 于是可拍摄到一张像全息图; 即它相当于将一张普通的全息图, 用原参考光的共轭光照射后, 会得到共轭实像, 将此实像作为物光来使用所制作的像全息图。

4 注意对抛物型反射面镜而言, 所有平行于光轴的光线, 都在面镜反射后相交于焦点。而对球面透镜而言, 只有平行于光轴的旁轴光线, 才相交于焦点。所以, 从光学信息处理和存储的角度来看, 它比透镜又有优越性, 因为它在离光轴的不同区域, 对光波场具有相同的转换特性。

总之, 抛物型反射面镜, 从理论上、实验上做进一步的研究, 在技术应用上是有实际意义的。

### 参 考 文 献

- 1 Husain-Abidi A S, Krile T F. Fourier transformable properties of paraboloidal mirror segments. *Optics Communications*, 1971, 11: 409 ~ 411
- 2 Joseph W Goodman. *Introduction to Fourier Optics*. McGraw-Hill, Inc. 1968: 57 ~ 70
- 3 Takanori Okoshi. *Three-dimensional imaging techniques*. Academic Press, Inc. 1976. 140 ~ 150
- 4 Max Born, Emile wolf. *Principles of Optics*. Pergamon Press. Sixth edition, 1980. 370 ~ 400

## Light Field Transformation by a Paraboloidal Mirror

E Guoguang

( Department of Applied Physics )

**[Abstract]** The light feild transformation in the paraboloidal mirror is discussed. The condition for obtaining an exact Fourier-transform relationship is indicated. The imaging character and the influence of focus error in the mirror are also presented.

**[Key words]** paraboloidal mirror, Fourier-transform, light field